

Gases e líquidos, estados, propriedades PVT e equações de estado



Sendo uma forma econômica de retratar a realidade, a equação é uma mensagem cifrada, compreensível por quem domina os conceitos nela representados, não importando o idioma de quem a criou nem de quem a lê (Venturoli T. Beleza matemática, Veja, 37 (47), ed. 1881:140-1, 24/11/2004).

Os assuntos deste capítulo são: propriedades PVT dos fluidos e equações de estado (EDE). Destas últimas, são apresentadas as EDE tradicionais e as mais modernas. São comentados os seguintes aspectos: qualidades que uma EDE deve apresentar, importância, classificações, descrições e recomendações de uso. São enfatizados certos aspectos mais importantes, como Teorema (ou Lei, ou Princípio) dos Estados Correspondentes, Equações de Estado Cúbicas; EDE com parâmetros específicos, regras de mistura para adaptar as EDE às misturas. É um dos capítulos mais extensos e apresenta as bases para os assuntos a serem abordados na terceira parte deste livro (Capítulos 6 a 11). Nomenclatura e referências bibliográficas. Os exercícios propostos e resolvidos referentes a este capítulo estão no Capítulo 5.







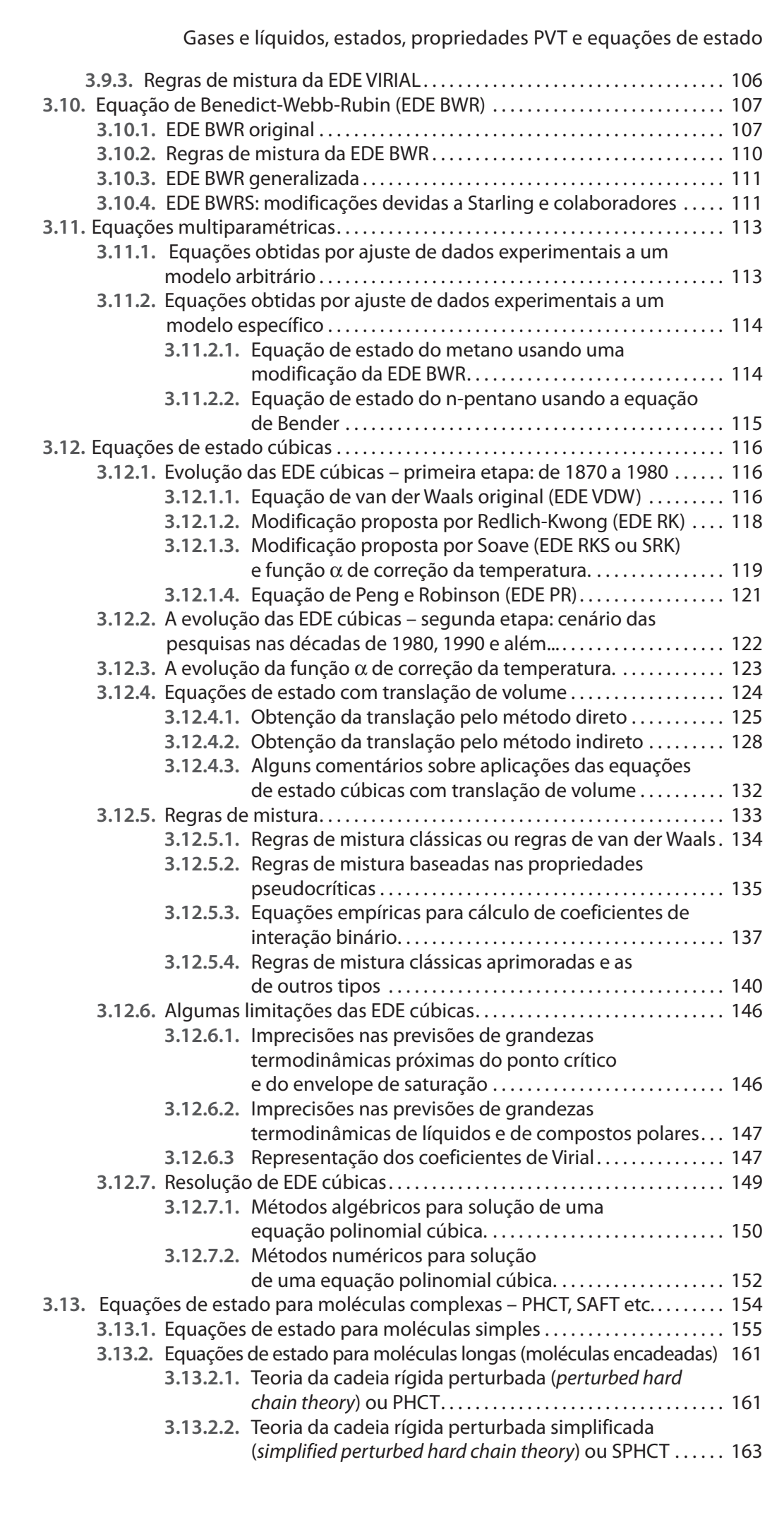
Sumário

3.	Gase	es e líquidos, estados, propriedades PVT e equações de estado	61
	3.1.	Estado das substâncias	68
	3.2.	Descrição de duas experiências simples	68
		3.2.1. Primeira experiência: vaporização de um componente puro	68
		3.2.2. Segunda experiência: vaporização de misturas	70
	3.3.	O que acontece com as moléculas na mudança de estado?	71
		3.3.1. As forças que atuam nas moléculas	71
		3.3.2. Quando um líquido muda de estado: a vaporização	72
		3.3.3. Pressão de vapor	73
		3.3.4. Temperatura crítica	74
	3.4.	Definição de alguns termos usuais: gás supercrítico, gás subcrítico, vapor	
		saturado, líquido saturado, líquido comprimido e líquido sub-resfriado	74
	3.5.	Superfície PVT de substâncias puras	75
		3.5.1. Gráficos das superfícies PVT	75
		3.5.2. Projeção (ou diagrama) PV	76
		3.5.3. Projeção (ou diagrama) PT	78
		3.5.4. Região líquido-vapor	79
		3.5.5. Comparação entre a projeção (ou diagrama) PT para	
		substâncias puras e para misturas	80
	3.6.	Importância das propriedades PVT nos cálculos termodinâmicos	80
	3.7.	Generalidades sobre equações de estado	81
		3.7.1. O que são equações de estado?	81
		3.7.2. A equação de estado mais simples: a equação	
		dos gases ideais (GI)	82
		3.7.3. Classificação das equações de estado	82
	3.8.	Equações de estado derivadas do teorema dos estados	
		correspondentes (TEC)	87
		3.8.1. Teorema dos estados correspondentes original e suas limitações	87
		3.8.1.1. Correção do teorema dos estados correspondentes	89
		3.8.2. Gráfico generalizado do fator de compressibilidade	89
		3.8.2.1. Regras de mistura para os gráficos generalizados	90
		3.8.2.2. Usos práticos do gráfico generalizado do fator de	
		compressibilidade (cálculo de propriedades	
		volumétricas, extrapolação de dados e identificação	
		do estado de uma substância)	91
		3.8.3. Equações analíticas derivadas do teorema dos estados	
		correspondentes	94
		3.8.3.1. Equação de estado de Lee e Kesler EDE LK	94
		3.8.3.2. Modificação da regra de mistura da EDE LK proposta	
		por Plöcker et al. (1978) ou EDE LKP	96
	3.9.	1 3 ' '	97
		3.9.1. Generalidades sobre a EDE VIR	97
		3.9.2. Métodos para cálculo dos coeficientes de Virial	99
		3.9.2.1. Cálculo do segundo coeficiente de Virial pelo método	
		de Pitzer e Curl	00
		3.9.2.2. Cálculo do segundo coeficiente de Virial pelo método	
		de Pitzer e Curl modificado para moléculas polares 1	01
		3.9.2.3. Cálculo do segundo coeficiente de Virial por contribuição	
		de grupos – método de McCann e Danner (1984) 1	
		3.9.2.4. Cálculo do terceiro coeficiente de Virial	05















	3.13.2.3. Teoria da perturbação termodinâmica ou TPT e equações de estado para cadeias de esferas rígidas (hard-sphere chain equation of state) ou EDE CER	
	3.13.2.4. Teoria da cadeia anisotrópica perturbada (perturbed anisotropic chain theory) ou PACT	
3.13	3.3. Equações de estado para fluidos associantes	
	3.13.3.1. Teoria da cadeia associada anisotrópica	
	perturbada (associated perturbed anisotropic	
	chain theory) ou APACT	168
	3.13.3.2. Teoria estatística do fluido associante (statistical	
	associating fluid theory) ou SAFT – EDE SAFT	
	e suas variantes	169
	3.13.3.3. Equação de estado cúbica ampliada para associaçã	0
	(cubic plus association equation of state) ou EDE CPA	۱ 169
	3.13.3.4. Equações de estado para cadeias heteronucleares	
	(heteronuclear chains equation of state)	175
	comendações, comparações e comentários finais sobre	
•	uações de estado	
	4.1. Diretrizes gerais	177
3.14	4.2. Considerações sobre a capacidade preditiva das	177
2.1	equações de estado	
	4.4. Comparação com dados experimentais	
	4.5. Comentários finais e perspectivas futuras	
	menclatura	
	ferências bibliográficas	
	ercícios	
Jiiii Exe		220
Lista de figu	ras	
Figura 3.1.	Variação da temperatura com o tempo no aquecimento de água	
	pura (pressão = 1 atm)	
Figura 3.2.		
F: 2.2	água-álcool etílico (pressão = 1 atm)	70
Figura 3.3.	Esquema da relação entre a energia intermolecular existente	70
Figure 2.4	entre duas moléculas (φ) e a distância (r) entre elas	72
Figura 3.4.	Esquema de uma superfície PVT (completa e suas projeções	76
Figura 3.5.	PT, TV e PV) de substância puraSuperfície PVT para substância pura: projeção PV	76 77
Figura 3.5.	Superfície PVT para substância pura: projeção PT	
Figura 3.7.	Superfície PVT para substância pura: região de equilíbrio	70
rigara 5.7.	líquido-vapor com as linhas de título do vapor	79
Figura 3.8.	Diagrama PT para substâncias puras e para misturas	
Figura 3.9.	Fator de compressibilidade para alguns fluidos puros	
119010.0021	no estado gasoso	88
Figura 3.10.		
3 · · · · · ·	(Z_{ls}) em função do fator de compressibilidade crítico (Z_{ls})	
	(Hougen et al., 1959)	88
Figura 3.11.		
	para várias pressões reduzidas de saturação P _{sat}	
	(Hougen et al., 1959)	88
Figura 3.12a	a. Gráfico generalizado de Z = $f(T_r, P_r)$ para $Z_c = 0.27$	
	(Hougen et al., 1959)	90
Figura 3.12b	b. Gráfico generalizado de Z = $f(T_r, P_r)$ para $Z_c = 0.27$ (Hougen et al.,	
	1959) – região de baixa pressão	90
Figura 3.13.	Correção para o fator de compressibilidade de gases quando	
	/ -/ U // U ougon of al (1050)	an







Figura 3.14.	Esquema do gráfico generalizado de $Z = f(P_r, T_r)$ para $Z_c = 0.27$:	
Eigura 2 1E	regiões e linhas que identificam o estado das substâncias	2
Figura 3.15.	Esquema do gráfico generalizado do fator de compressibilidade em função das propriedades reduzidas $T_c = P_r$, para $Z_c = 0.27$:	
	várias isotermas, ponto crítico e envelope de saturação	2
Figura 3.16.	Correlação de k _{ii} para sistemas hidrocarboneto–	_
	hidrocarboneto (Plöcker et al., 1978)	б
Figura 3.17.	Correlação k _{ii} para sistemas nitrogênio-hidrocarboneto	
	(Plöcker et al., 1978) 96	5
Figura 3.18.	Correlação de k _{ii} para sistemas dióxido de carbono –	
	hidrocarboneto (Plöcker et al., 1978)	7
Figura 3.19.	Correlação de k _{ij} para os sistemas hidrogênio –	
F: 2.20	hidrocarboneto (Plöcker et al., 1978)	7
Figura 3.20.	Segundo coeficiente de Virial para alguns gases (Paul, 1951;	_
Figure 2.21	Prausnitz, 1969; Myers e Seider, 1976)	/
Figura 3.21.	Segundo coeficiente de Virial para o benzeno – os pontos são os dados experimentais e as curvas, os valores calculados	
	com os modelos (adaptado de Tsonopoulos, 1974)	n
Figura 3.22.	Terceiro coeficiente de Virial – dados experimentais e valores	,
	calculados pela equação de Chueh e Prausnitz (1967a)	
	(adaptado de Prausnitz, 1969)	5
Figura 3.23.	Valores da correção $\alpha = a/a_c$ para vários hidrocarbonetos (Soave, 1972) 120	0
Figura 3.24.	Parâmetro S _{RKS} da equação 3.35 em função do fator	
	acêntrico (gráfico construído com valores citados em Soave, 1972) 120	0
Figura 3.25.	Comparação entre valores de $\alpha = (T_r)$ calculados com	
	vários modelos: hidrogênio	4
Figura 3.26.	Comparação entre valores de $\alpha = f(T_r)$ calculados com vários	_
Figure 2.27	modelos: etano	
Figura 3.27.	Esquema mostrando a consideração de translação fixa)
Figura 3.28.	(t) em função da temperatura reduzida (T _.). Dados	
	experimentais, V_{exp} , e valores calculados com a EDE VDW,	
	V _{calc} (dados de Terron, 1988)	б
Figura 3.29.	Classificação das regras de mistura (adaptado de	_
3	Muhlbauer e Raal, 1995)	1
Figura 3.30.	Segundo coeficiente de Virial – comparações entre dados	
	experimentais e modelos para estimá-lo	
	(Mak e Lielmezs, 1989)	
Figura 3.31.	Esquema da resolução de uma EDE cúbica	O
Figura 3.32a.	Esquema da solução de uma EDE cúbica (região de equilíbrio	_
Fig 2 22b	líquido-vapor com três raízes)	1
Figura 3.32b.	Esquema da solução de uma EDE Cúbica (Região de Equilíbrio líquido-vapor com três raízes) – Raízes com e sem significado físico. 15	1
Figura 3.33.	Comparação entre fatores de compressibilidade para a esfera	1
rigula 5.55.	rígida obtida a partir de diferentes equações de estado e por	
	dados gerados por simulação (Sadus, 1994)	1
Figura 3.34.	Esquema dos possíveis gráficos usados para comparação entre dados	
	experimentais (P_{exp}) e valores calculados com os modelos (P_{calc}) :	
	modelos e dados experimentais com ajuste deficitário	1
Figura 3.35.	Esquema dos possíveis gráficos usados para comparação entre dados	
	experimentais (P_{exp}) e valores calculados com os modelos (P_{calc}) :	
F1 0.01	modelos e dados experimentais com ajuste adequado	3
Figura 3.36.	Fatores de compressibilidade da amônia – dados	,
Eigura 2 27	experimentais e valores calculados (Tarakad et al., 1979)	/
Figura 3.37.	Fatores de compressibilidade do dióxido de enxofre – dados experimentais e valores calculados (Tarakad et al., 1979) 187	7
	- Mados experimentais e valores calculados (Taraxad et al., 19/9) 10/	







Figura 3.38.	Fatores de compressibilidade da mistura de dióxido de carbono + n-propano – dados experimentais
Figura 3.39.	e valores calculados (Tarakad et al., 1979)
Figura 3.40.	(construída a partir de dados de Tarakad et al., 1979)
Figura 3.41.	gás natural (construída a partir de dados de Tarakad et al., 1979) 191 Desvio porcentual médio quadrático global, DMQ%global, para vários modelos, originados da comparação de valores
Figura 3.42.	calculados com dados experimentais de volume molar
Figura 3.43.	de simulação molecular
Figura 3.44.	(notar que $Z_{esfera\ rígida} = Z_{repulsão} + Z_{atração} - ver item 3.13.1)$
Lista de tabel	as
Tabala 2.1	Candiañ a anno a anno año a de catada de nas estisferas
Tabela 3.1.	Condições que as equações de estado devem satisfazer
Tabela 3.2. Tabela 3.3.	Qualidades que as equações de estado devem apresentar
Tabela 3.4.	equação do gás ideal (GI)
Tabela 3.5.	Classificação segundo o tipo de abordagem de obtenção (ver Capítulo 2 – item 2.5.3)
Tabela 3.6.	Fator de compressibilidade no ponto crítico para várias substâncias (Hougen et al., 1959)
Tabela 3.7.	Constantes das equações 3.42 a 3.45 para a substância simples e para a substância-referência (Lee e Kesler, 1975) 95
Tabela 3.8.	Principais informações da literatura sobre coeficientes de virial
Tabela 3.9.	Valores das constantes da equação de Pitzer e Curl para cálculo do segundo coeficiente de Virial
Tabela 3.10.	Cálculo dos coeficientes da equação 3.64 (Tsonopoulos, 1974; Vetere, 1974)
Tabela 3.11.	Parâmetros a e b da equação 3.65 (Tsonopoulos, 1974, 1975 e 1978)
Tabela 3.12.	Coeficientes para a equação 3.71 (McCann e Danner, 1984)
Tabela 3.13.	Constantes para a EDE BWR ⁺ - (Reid e Sherwood, 1966)
Tabela 3.14.	Literatura sobre compilação de valores e métodos de
Tubela 5.14.	obtenção das constantes da EDE BWR original
Tabela 3.15.	Parâmetros Aj e Bj da EDE BWRS (Starling e Ham, 1972a, b)
Tabela 3.16.	Coeficientes da equação 3.148 para o ar
Tabela 3.17.	Parâmetros para as equações 3.149 e 3.150, para o
	metano (Kedge e Trebble, 1999)
Tabela 3.18.	Parâmetros das equações 3.151 e 3.152 para o n-pentano
	(Cibulka et al., 2001)
Tabela 3.19.	Função f(v) para as equações de estado cúbicas VDW, RK, RKS e PR





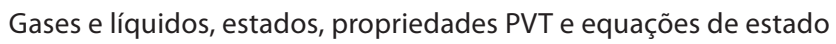




Tabela 3.20.	Parâmetros das equações 3.225 a 3.227 para substâncias puras (Kutney et al., 1997)	9
Tabela 3.21.	Algumas EDE cúbicas com translação de volume - translação	
T. I. 2.22	obtida pelo método indireto	
Tabela 3.22.	Valores das constantes χ_k da equação 3.237	
Tabela 3.23.	Constantes Ai (i = 0 a 5) da equação 3.251	
Tabela 3.24.	Parâmetros das equações 3.257, 3.259 e 3.260 (Magoulas e Tassios, 1990) 13	3
Tabela 3.25.	Coeficientes de interação binários da regra de mistura clássica para as várias EDE e sistemas diferentes	4
Tabela 3.26.	Valores de ω Ω ai e Ω bi para algumas substâncias (Chueh e Prausnitz, 1967a, b, c; Prausnitz e Chueh, 1968) 13	6
Tabela 3.27.	Valores do parâmetro de interação, kij, para alguns binários	U
	(Chueh e Prausnitz, 1967a, b, c)	7
Tabela 3.28.	Resumo das correlações para coeficientes binários de interação:	_
T-1-1-2 20	os coeficientes Cij+	
Tabela 3.29.	Valores das constantes Bi (i = 1 a 6) da equação 3.282	U
Tabela 3.30.	Equações de cálculo dos parâmetros das equações de estado	_
T. I. 0.04	cúbicas para misturas nas regras clássicas aprimoradas	2
Tabela 3.31.	Fatores de compressibilidade críticos calculados com EDE	_
T.	e valores experimentais	
Tabela 3.32.	Valores das constantes A a H da equação 3.299 (Mak e Lielmezs, 1989) . 14	8
Tabela 3.33.	Valores de u, w, Ω_a , Ω_b , e as equações de cálculo dos termos α ,	^
Tabala 2 24	para as EDE VDW, RK, RKS, PR	9
Tabela 3.34.	Algoritmo de cálculo para obtenção das raízes de uma EDE cúbica	2
Tabela 3.35.	pelo método de Newton-Raphson	2
labela 3.33.	– equação 3.342	6
Tabela 3.36.	Sumário das modificações do termo repulsivo das EDE cúbicas	O
Tabela 5.50.	– equação 3.342	8
Tabela 3.37.	Sumário das modificações simultâneas dos termos atrativo e	•
	repulsivo das EDE cúbicas	9
Tabela 3.38.	EDE PHCT	
Tabela 3.39.	Trabalhos envolvendo extensões da EDE SPHCT e	
	cálculos práticos	3
Tabela 3.40.	EDE SPHCT	
Tabela 3.41.	Cálculos práticos da EDE SPHCT	
Tabela 3.42.	EDE CER original	
Tabela 3.43.	EDE CER para dímeros ou EDE TPT-D	
Tabela 3.44.	Equação de estado SAFT original	0
Tabela 3.45.	Equação de estado SSAFT	
Tabela 3.46.	Equação de estado HS-SAFT	
Tabela 3.47.	Equação de estado LJ-SAFT	
Tabela 3.48.	Equação de estado SW-SAFT	
Tabela 3.49.	Equação de estado VR-SAFT 17.	
Tabela 3.50.	Aplicações da equação de estado SAFT original e suas variantes 17.	3
Tabela 3.51.	Dois modelos com graus de preditividade diferentes	8
Tabela 3.52.	Trabalhos relevantes sobre revisões, análises de desempenho	
	e comparações envolvendo equações de estado 18-	4
Tabela 3.53.	Equações de estado para estimar densidade e fugacidade na fase	
	gasosa: hierarquia de emprego, modelos e sistemas estudados 18	8
Tabela 3.54.	Modelos e estudados no trabalho de Trebble e Bishnoi (1986) 19	
Tabela 3.55.	Vantagens e desvantagens das EDE cúbicas (adaptado	
	de Valderrama, 2003)	4
Tabela 3.56.	EDE cúbicas: recomendações de uso para diversas propriedades	
	de fluidos puros	4
Tabela 3.57.	EDE cúbicas e regras de mistura: recomendações de uso para misturas	
	de naturezas diversas	5







3.1. Estado das substâncias

A experiência de viver nos diz que habitamos em um Universo composto de materiais diversos, sendo alguns líquidos, outros sólidos e outros gasosos. Sob condições ambientes de pressão e temperatura (por exemplo, 1 atm e 25°C), a água é líquida, o ácido benzóico é sólido e o ar é gasoso. Mantendo a pressão constante (1 atm, no caso) e resfriando-a até 0°C, a água passará para o estado sólido, formando o gelo. Se a água for aquecida a 100°C, iniciar-se-á sua evaporação. Assim, o ácido benzóico também funde a certa temperatura e, se esta aumentar, ele passará para o estado gasoso. As constatações anteriores podem ser observadas, na prática, sem grande dificuldade. Já com técnicas e equipamentos adequados, vê-se que o oxigênio torna-se líquido ou sólido quando submetido a altas pressões e temperaturas bem baixas. São usadas, como exemplo, substâncias puras, mas situações semelhantes ocorrem quando existem misturas: soluções líquidas, misturas de gases, líquidos ou sólidos.

Desse modo, é evidente para o observador comum verificar as substâncias apresentarem-se em determinado estado (sólido, líquido ou gasoso) dependendo da pressão (P) e da temperatura (T) às quais estão submetidas. Além de P e T, outras variáveis influem, como, por exemplo, volume e quantidade de matéria (massa ou mol). No caso de misturas, as concentrações das espécies que a formam serão outras variáveis a considerar. No entanto, isso também vem sendo constatado na prática.

Neste capítulo, vamos tecer algumas considerações sobre os estados das substâncias. Primeiramente vamos analisar o que acontece realizando duas experiências bem simples que podem ser feitas sem muitas dificuldades descritas a seguir.

3.2. Descrição de duas experiências simples

As duas experiências em questão envolvem uma substância pura (primeira experiência) e uma mistura (segunda experiência). Com a observação dos resultados serão introduzidos vários conceitos importantes da Termodinâmica Química.

3.2.1. Primeira experiência: vaporização de um componente puro

Um recipiente de vidro cheio de água pura (cerca de 1 kg de água), em temperatura ambiente (aproximadamente 20°C), é colocado em um forno aquecido (T > 300°C) que consome 5 kW de potência. A pressão dentro do forno é a atmosférica (1 atm). A água será aquecida e, depois de certo tempo, ferverá. Enquanto ainda fria, colocamos um termômetro na água, de modo a observarmos a variação da temperatura (T) durante o processo de aquecimento. Com os dados da temperatura em função do tempo, constrói-se o gráfico da Figura 3.1.

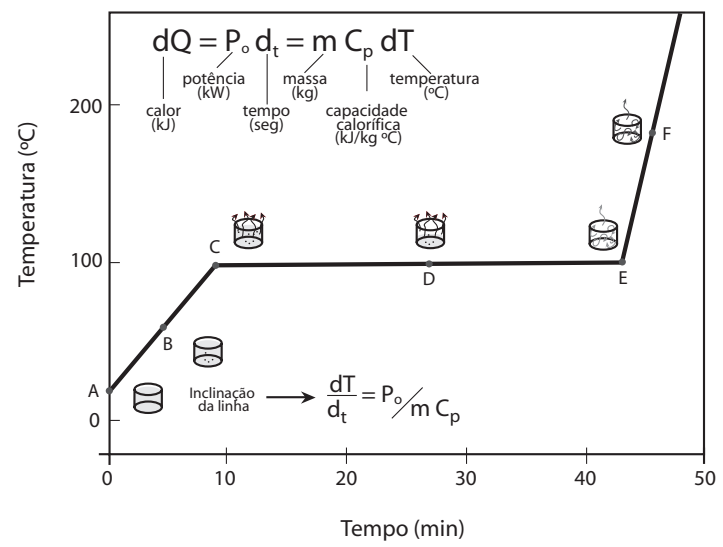


Figura 3.1. Variação da temperatura com o tempo no aquecimento de água pura (pressão = 1 atm).

Observando-se, então, o gráfico resultante, pode-se comentar o que acontece nos pontos marcados de A até F:

 Ponto A: o recipiente com água acabou de ser colocado no forno. O líquido está na temperatura ambiente (mais ou menos 20°C), mas, com a adição de calor, não ficará



